

6. Л. А. Вулис, В. П. Кашкаров. Теория вязкой жидкости. «Наука», 1965.  
 7. А. С. Гиневский. Сб. «Промышленная аэродинамика», № 15, Оборонгиз, 1959.  
 8. J. A. Monfers. J. Chem. Phys., 1955, 23, 10.  
 9. Ш. А. Ершин, Л. П. Ярин. Сб. «Прикладная теплофизика». Изд. АН КазССР, 1964.

УДК 536.463

## К РАСЧЕТУ СКОРОСТИ РАСПРОСТРАНЕНИЯ ПЛАМЕНИ

А. Н. Иванов

(Москва)

Я. Б. Зельдович и Д. А. Франк-Каменецкий [1] установили для случая равенства коэффициентов диффузии и теплопроводности подобие концентрационного и температурного профиля в стационарной волне горения, распространяющейся в газовой системе

$$\frac{N}{N_0} = \frac{T_k - T}{T_k - T_0}. \quad (1)$$

Эта связь позволяет вместо двух уравнений теплопроводности и диффузии рассматривать одно уравнение

$$\frac{d}{dx} \left( \lambda \frac{dT}{dx} \right) - \rho u c_p \frac{dT}{dx} + q \Phi = 0, \quad (2)$$

представив кинетическое уравнение химического превращения в виде

$$\Phi = k_0 c_0^y \left( \frac{T_0}{T} \right)^y \left( \frac{T_k - T}{T_k - T_0} \right)^y \exp \left( -\frac{E}{RT} \right). \quad (3)$$

Перейдя к переменным  $T - \frac{dT}{dx}$  и обозначив  $\frac{dT}{dx} = y$ , преобразуем уравнение (2)

$$\lambda y \frac{dy}{dT} - \rho u c_p y + q k_0 c_0^y \left( \frac{T_0}{T} \right)^y \left( \frac{T_k - T}{T_k - T_0} \right)^y \exp \left( -\frac{E}{RT} \right) = 0. \quad (4)$$

Если ввести безразмерные параметры

$$\bar{T} = \frac{T}{T_k}, \quad A = \frac{E}{RT_k}, \quad M = \frac{q k_0 c_0^y \lambda}{c_p^2 \rho^2 u^2 T_k}, \quad \bar{y} = \frac{\lambda y}{\rho u c_p T_k},$$

то

$$\frac{d \bar{y}}{d \bar{T}} - 1 + \frac{M}{\bar{y}} f(\bar{T}) = 0, \quad (5)$$

где

$$f(\bar{T}) = \left( \frac{\bar{T}_0}{1 - \bar{T}_0} \right)^y \left( \frac{1 - \bar{T}}{\bar{T}} \right)^y \exp \left( -\frac{A}{\bar{T}} \right).$$

Для определения массовой скорости горения, которая вошла в безразмерный параметр  $M$ , введем граничные условия:

$$\begin{aligned} & \text{при } \bar{T} = \bar{T}_0 \quad \bar{y} = 0, \\ & \text{при } \bar{T} = 1 \quad \bar{y} = 0. \end{aligned} \quad (6)$$

Таким образом, для определения параметра  $M$  необходимо решить краевую задачу, представленную нелинейным уравнением (5) и граничными условиями (6).

Эта задача решалась численно при практически важном диапазоне изменения определяющих параметров:  $v=1$  и  $2$ ,  $A=4, 6, 8, 10, 15, 20$ ,  $\bar{T}_0=0,1, 0,2$  и  $0,3$ .

Расчеты проводились методом Рунге-Кутта на БЭСМ-2. Параметр  $M$  подбирался автоматически с точностью до шестой значащей цифры. Интегрирование начиналось с точки  $\bar{T}=\bar{T}_0$  и  $\bar{y}=0$ .

Интегральные кривые представлены на рис. 1, 2 и 3.

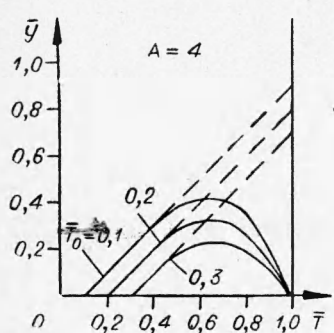


Рис. 1.

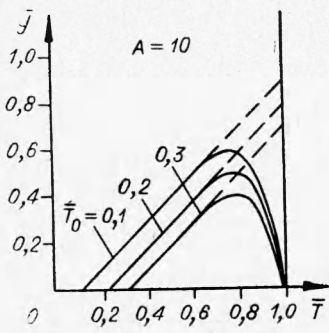


Рис. 2.

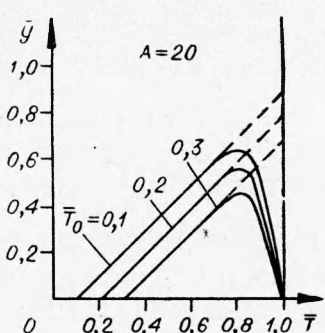


Рис. 3.

Для этих решений характерным является наличие в начале прямолинейного участка, что обусловлено малым значением функции  $\frac{M}{y} f$  по сравнению с единицей. Этот участок почти чистого подогрева за счет распространения тепла из более нагретых зон известен как Михельсоновское решение.

При дальнейшем увеличении температуры в связи с тепловыделением, обусловленным химическими превращениями, производная  $\frac{d\bar{y}}{d\bar{T}}$  начинает уменьшаться, и кривая  $\bar{y}=\bar{y}(\bar{T})$  приходит в точку  $\bar{T}=1$  и  $\bar{y}=0$ .

Результаты машинного расчета параметра  $M$  сравнивались с его значением, определенным по методу Я. Б. Зельдовича и Д. А. Франк-Каменецкого, согласно которому процесс горения разбивается на два этапа: подогрев и химическое превращение.

Первый этап описывается решением В. А. Михельсона

$$y = T - T_0. \quad (7)$$

На втором этапе полагается, что  $\frac{M}{y} f \gg 1$ . В связи с этим укороченное уравнение  $\frac{d\bar{y}}{d\bar{T}} + \frac{M}{\bar{y}} f(\bar{T}) = 0$  решается в квадратурах

$$y^2 = 2M \int_{\bar{T}_0}^1 f(\bar{T}) d\bar{T}. \quad (8)$$

Решения обоих этапов удовлетворяют граничным условиям. В некоторой точке  $\bar{T} = \bar{T}^*$  и  $\bar{y} = \bar{y}^*$  оба решения смыкаются

$$(\bar{T}^* - \bar{T}_0)^2 = 2M \int_{\bar{T}^*}^1 f(\bar{T}) d\bar{T}. \quad (9)$$

Для определения скорости горения в левой части полученного выражения (9) температура  $\bar{T}^*$  принимается равной температуре горения (т. е. единице), а в правой части эта же температура принимается равной ее начальному значению, т. е.  $\bar{T}_0$ ,

$$(1 - \bar{T}_0)^2 = 2M \int_{\bar{T}_0}^1 f(\bar{T}) d\bar{T}. \quad (10)$$

Из (10) и определяется параметр  $M$ :

$$M = \frac{(1 - \bar{T}_0)^2}{2 \int_{\bar{T}_0}^1 f(\bar{T}) d\bar{T}}. \quad (11)$$

Тот же результат может быть получен формально без физического обоснования малости единицы по сравнению со значением функции  $\frac{M}{y} f$  на втором этапе, что было сделано в работе [1].

Для этого проинтегрируем уравнение (5) по  $\bar{T}$  от  $\bar{T} = \bar{T}_0$  до  $\bar{T} = 1$

$$\int_{\bar{T}_0}^1 \bar{y} \frac{d\bar{y}}{d\bar{T}} d\bar{T} = \int_{\bar{T}_0}^1 \bar{y} d\bar{T} - M \int_{\bar{T}_0}^1 f(\bar{T}) d\bar{T}. \quad (12)$$

Интеграл в левой части соотношения (12) в связи с граничными условиями (6) равен нулю, а поэтому

$$M = \int_{\bar{T}_0}^1 \bar{y} d\bar{T} / \int_{\bar{T}_0}^1 f(\bar{T}) d\bar{T}. \quad (13)$$

Таким образом, для расчета параметра  $M$ , согласно формуле (13), необходимо знать функциональную зависимость  $\bar{y} = \bar{y}(\bar{T})$  для определения интеграла, стоящего в числителе.

Сравнение формул (11) и (13) показывает, что в методе Я. Б. Зельдовича и Д. А. Франк-Каменецкого в качестве функциональной зависимости  $\bar{y} = \bar{y}(\bar{T})$  принято решение первого этапа (7).

Сравнение площадей, ограниченных истинными решениями  $\bar{y} = \bar{y}(\bar{T})$  (см. рис. 1, 2 и 3) и осью абсцисс и площадей, ограниченных прямыми  $\bar{y} = \bar{T} - \bar{T}_0$  и  $\bar{T} = 1$  и осью абсцисс, вполне достаточно для того, чтобы определить, во сколько раз точное применение метода Я. Б. Зельдовича и Д. А. Франк-Каменецкого завышает параметр  $M$  по сравнению с его действительным значением. Эта разница будет тем меньше, чем большее значение параметра  $A$ . Однако для практически важных случаев завышение является весьма существенным. В среднем оно может быть оценено в 2—3 раза.

Но при оценке рассматриваемого метода весьма важно обратить внимание на то, что в формулах (11) и (13) есть также второй интеграл (в знаменателе), который определен Я. Б. Зельдовичем и Д. А. Франк-

Каменецким с погрешностями, почти в точности компенсирующими (для практически важного диапазона изменения определяющих параметров ( $A$  и  $\bar{T}$ )) погрешности определения первого интеграла.

Подынтегральная функция  $f(\bar{T})$  несколько упрощается.

$$f(\bar{T}) \approx \left( \frac{\bar{T}_0}{1 - \bar{T}_0} \right)^v (1 - \bar{T})^v \exp(-A) \exp[-A(1 - \bar{T})], \quad (14)$$

т. е. плотность газа принята своим меньшим значением при температуре горения, а кроме того в показателе экспоненты принято

$$\frac{1}{\bar{T}} \approx 2 - \bar{T}, \quad (15)$$

что весьма существенно увеличивает значение интеграла.

В связи с проведенными упрощениями получим

$$\int_{\bar{T}_0}^1 f(\bar{T}) d\bar{T} \approx \bar{T}_0^v \exp(-A) (1 - \bar{T}_0) \int_0^1 z^v \exp(-\theta z) dz, \quad (16)$$

где  $z = \frac{1 - \bar{T}}{1 - \bar{T}_0}; \quad \theta = A(1 - \bar{T}_0).$

В соответствии с [2] принято, что

$$\int_0^1 z^v \exp(-\theta z) dz \approx \frac{v!}{\theta^{v+1}} \approx \frac{v!}{(1 - \bar{T}_0)^{v+1} A^{v+1}}, \quad (17)$$

а поэтому

$$\int_{\bar{T}_0}^1 f(\bar{T}) d\bar{T} \approx \left( \frac{\bar{T}_0}{1 - \bar{T}_0} \right)^v \frac{v!}{A^{v+1}} \exp(-A). \quad (18)$$

Е. С. Щетинков [3] приводит данные по соотношениям приближенных значений интеграла (16), рассчитанных по формуле (18), к соответствующим истинным значениям его, рассчитанным численным интегрированием (табл. 1)

Из совместного решения соотношений (11) и (18) следует, что

$$M \approx \frac{(1 - \bar{T}_0)^{v+2} A^{v+1}}{2v! T_0^v} \exp(A). \quad (19)$$

Сделаны сравнения результатов расчетов по формуле (19) с результатами машинного подбора значений параметра  $M$ , удовлетворяющих условиям краевой задачи (5) и (6). В табл. 2 и 3 приведены отношения значений параметра  $M$ , определенных машиной, к его значениям, рассчитанным по формуле (19). В табл. 2 приведены результаты для реакции первого порядка ( $v=1$ ), а в табл. 3 — для реакций второго порядка ( $v=2$ ).

Анализ этих результатов свидетельствует о достаточно высокой точности формулы (19). Тем более, что при сравнении скоростей распространения пламени относительные ошибки в табл. 2 и 3 должны быть уменьшены вдвое.

Таблица 1

| $v$ | $A$   | $\bar{T}_0$ | $\delta$ |
|-----|-------|-------------|----------|
| 1   | 4,16  | 0,125       | 1,82     |
|     | 8,32  | 0,125       | 1,73     |
| 2   | 4,16  | 0,125       | 2,44     |
|     | 8,32  | 0,125       | 1,67     |
|     | 5,56  | 0,166       | 2,14     |
|     | 11,12 | 0,166       | 1,67     |

При оценке формул для расчета скорости стационарного распространения пламени в тепловой теории Я. Б. Зельдовича и Д. А. Франк-Каменецкого необходимо учитывать не только приближенный характер решения дифференциального уравнения теплопроводности, но и приближенное определение интеграла от функции скорости тепловыделения.

Таблица 2

| $\bar{T}_0$ | A    |      |      |      |      |      |
|-------------|------|------|------|------|------|------|
|             | 4    | 6    | 8    | 10   | 15   | 20   |
| 0,1         | 1,15 | 1,12 | 1,10 | 1,08 | 1,06 | 1,05 |
| 0,2         | 0,98 | 1,04 | 1,04 | 1,04 | 1,03 | 1,03 |
| 0,3         | 0,84 | 0,94 | 0,97 | 1,00 | 1,00 | 1,00 |

Таблица 3

| $\bar{T}_0$ | A    |      |      |      |      |      |
|-------------|------|------|------|------|------|------|
|             | 4    | 6    | 8    | 10   | 15   | 20   |
| 0,1         | 1,13 | 1,12 | 1,10 | 1,09 | 1,07 | 1,06 |
| 0,2         | 0,92 | 0,99 | 1,01 | 1,02 | 1,02 | 1,02 |
| 0,3         | —    | 0,82 | 0,89 | 0,95 | 0,97 | 1,00 |

Для практически важного диапазона изменения значений определяющих параметров приближенные формулы этой теории дают достаточно точные результаты.

В последующей работе [4] Я. Б. Зельдович, основываясь на том, что  $\frac{RT^2}{E}$  при изменении температуры на величину  $\frac{1}{E}$  константа скорости реакции изменяется в  $e$  раз, и полагая этот интервал малым по сравнению с интервалом  $T_k - T_0/E \gg RT_k$ , определил значение интеграла (16)

$$\int_{T_0}^{\bar{T}} f(\bar{T}) d\bar{T} \approx \frac{1}{A} f_{\max}, \quad (20)$$

где  $f_{\max}$  — максимальное значение функции тепловыделения

$$f_{\max} = \left( \frac{\bar{T}_0}{1 - \bar{T}_0} \right)^v \left( \frac{1 - \bar{T}_m}{\bar{T}_m} \right)^v \exp \left( \frac{A}{\bar{T}_m} \right). \quad (21)$$

Безразмерная температура максимального тепловыделения равна

$$\bar{T}_m = \frac{1}{1 + \frac{v}{A}}.$$

В связи с этим

$$f_{\max} = \left( \frac{\bar{T}_0}{1 - \bar{T}_0} \right)^v \left( \frac{v}{A} \right)^v \exp(-A - v). \quad (22)$$

Если следовать рекомендации Я. Б. Зельдовича об упрощенном определении интеграла (16) по формуле (22), то параметр  $M$  определяется так:

$$M = \frac{(1 - \bar{T}_0)^{v+2} A^{v+1}}{2^{v+1} \bar{T}_0^v} \exp(A + v). \quad (23)$$

Сравнение формулы (23) с формулой (19) показывает, что определение интеграла (16) в форме (22) дает завышение параметра  $M$ .

Таким образом, расчетные формулы тепловой теории газового горения [1] имеют достаточно высокую точность для практически важного диапазона изменения определяющих параметров. Однако, введе-

ние толщины теплового слоя (без химических реакций) вплоть до температуры горения является математическим приемом, примененным одновременно с соответствующим определением интеграла скорости тепловыделения. Как следует из результатов численного интегрирования, процесс химических превращений охватывает достаточно большой интервал изменения температуры.

Поступила в редакцию  
27/VIII 1968

#### ЛИТЕРАТУРА

1. Я. Б. Зельдович и Д. А. Франк-Каменецкий. ЖФХ, 1938, XII, 1.
2. И. М. Рыжик. Таблицы интегралов, сумм, рядов и производствений, ОГИЗ, 1948.
3. Е. С. Щетинков. Физика горения газов. М., «Наука», 1965.
4. Я. Б. Зельдович. ЖЭТФ, 1942, XII, 11.

УДК 536.46

### ОБ ОДНОЙ СТАЦИОНАРНОЙ ЗАДАЧЕ ТЕОРИИ ГОРЕНИЯ

Д. А. Ваганов, С. И. Худяев

(Москва)

Рассматривается система уравнений

$$\begin{aligned} \frac{d^2 u}{dx^2} + \omega \frac{du}{dx} - u_0 \eta^n F(u) &= 0, \\ -\omega \frac{d\eta}{dx} + \eta^n F(u) &= 0 \end{aligned} \tag{1}$$

с граничными условиями

$$\begin{aligned} \text{при } x = -\infty \quad u &= 0, \quad \eta = 0, \\ \text{при } x = +\infty \quad u &= u_0 > 0, \quad \eta = 1, \end{aligned} \tag{2}$$

которая описывает распространение фронта экзотермической реакции в конденсированной фазе [1]. Здесь  $\eta$  — относительная концентрация;  $u$  — безразмерная температура;  $F(u)$  — температурный член скорости химической реакции;  $n$  — порядок реакции;  $x$  — координата. Координаты  $x = \pm \infty$  отвечают соответственно начальному и конечному состоянию. Значения параметра  $\omega > 0$ , при которых задача (1) — (2) имеет решение, по аналогии с линейными уравнениями будем называть собственными значениями задачи. Собственные значения представляют собой безразмерную скорость распространения фронта. Свойства среды (теплопроводность, теплоемкость и плотность) считаются постоянными.

Система имеет первый интеграл

$$-\frac{du}{dx} + \omega (u_0 \eta - u) = \text{const}, \tag{3}$$